# DISPOSITIVOS SEMICONDUTORES DE TUNELAMENTO QUANTUM MECÂNICO

**OLIVEIRA**, Alexandre Miranda de<sup>1</sup>, **BORGES**, Antônio Newton<sup>2</sup>.

Palavras-chave: Poço de Potencial, Barreira de Potencial, Transmissão, Tunelamento

## 1. INTRODUÇÃO (justificativa e objetivos)

Na segunda metade do século XX houve um grande impulso nas pesquisas que conduziriam à descoberta e o desenvolvimento de componentes eletrônicos, tais como os diodos, transistores, circuitos integrados e microprocessadores. A operação de tais componentes é baseada nas propriedades de transporte eletrônico dos semicondutores.

Estes resultados só foram alcançados através do avanço da mecânica quântica, que possibilitou o entendimento dos mecanismos de formação dos sólidos em geral e consequentemente uma compreensão das propriedades eletrônicas dos materiais diferenciando-os em condutores, isolantes e semicondutores.

#### 2. METODOLOGIA

Utilizamos como ferramenta básica a mecânica quântica, que é usada para a compreensão de todas as propriedades eletrônicas dos materiais utilizados na fabricação dos dispositivos semicondutores. Resolvendo-se a equação de Schroedinger obtemos as funções de ondas e as energias de elétrons confinados em estruturas de poços quânticos.

## 3. RESULTADOS E DISCUSSÃO

Para um poço de potencial quadrado finito o potencial pode ser escrito como

$$V(x) = \begin{cases} V_0 & \text{se } x < -\frac{a}{2} \text{ ou } x > +\frac{a}{2} \\ 0 & \text{se } -\frac{a}{2} < x < +\frac{a}{2}. \end{cases}$$
 (1)

Ao resolvermos a equação de Schroedinger independente do tempo para todas as regiões encontramos as seguintes autofunções:

$$\psi(x) = Ae^{ik_I x} + Be^{-ik_I x} \quad \text{onde} \quad k_I = \frac{\sqrt{2mE}}{\hbar} \qquad -\frac{a}{2} < x < +\frac{a}{2}$$
 (2)

$$\psi(x) = Ce^{k_I x} + De^{-k_I x}$$
 onde  $k_{II} = \frac{\sqrt{2m(V_0 - E)}}{\hbar}$   $x < -\frac{a}{2}$  (3)

$$\psi(x) = Fe^{k_I x} + Ge^{-k_I x} \quad \text{onde} \quad k_{II} = \frac{\sqrt{2m(V_0 - E)}}{\hbar} \qquad x > +\frac{a}{2}$$
 (4)

Para o poço infinito

$$V(x) = \begin{cases} \infty & x < -\frac{a}{2} \text{ ou } x > +\frac{a}{2} \\ 0 & -\frac{a}{2} < x < +\frac{a}{2} \end{cases}$$
 (5)

encontramos

<sup>&</sup>lt;sup>1</sup>Bolsista de iniciação científica. Instituto de Física.alexandmail@gmail.com.br

<sup>&</sup>lt;sup>2</sup>Orientador, Instituto de Física, UFG, newton@if.ufg.br

$$\psi(x) = A\sin kx + B\cos kx$$
 onde  $k = \frac{\sqrt{2mE}}{\hbar}$   $-\frac{a}{2} \leqslant x \leqslant +\frac{a}{2}$  (6)

е

$$E_n = \frac{\hbar^2 k_n}{2m} = \frac{\pi^2 \hbar^2 n^2}{2ma^2} \qquad n = 1, 2, 3, 4, 5...$$
 (7)

que é a expressão para a energia total de uma partícula dentro do poço.

Para uma barreira de potencial, como ilustrado na Fig. 1(a). O potencial pode ser escrito como

$$V(x) = \begin{cases} V_0 & 0 < x < a \\ 0 & x < 0 \text{ ou } x > a \end{cases}$$
 (8)

Consideremos uma partícula de energia total E na região x < 0, que incide sobre a barreira se movendo no sentido de x crescente.

Nas regiões à esquerda e à direita da barreira as soluções da equação de Schroedinger são:

$$\psi(x) = Ae^{ik_I x} + Be^{-ik_I x} \qquad x < 0$$
  
$$\psi(x) = Ce^{ik_I x} + De^{-ik_I x} \qquad x > a$$
 (9)

onde

$$k_I = \frac{\sqrt{2mE}}{\hbar}$$

Na região dentro da barreira, a forma da equação, e de sua solução geral, depende de se  $E < V_0$  ou  $E > V_0$ . No primeiro caso,  $E < V_0$ , a solução geral é

$$\psi(x) = Fe^{-k_{II}x} + Ge^{k_{II}x} \qquad 0 < x < a \tag{10}$$

onde

$$k_{II} = \frac{\sqrt{2m(V_0 - E)}}{\hbar} \qquad E < V_0$$

No segundo caso,  $E > V_0$ , é

$$\psi(x) = Fe^{ik_{III}x} + Ge^{-ik_{III}x} \qquad 0 < x < a \tag{11}$$

onde

$$k_{III} = \frac{\sqrt{2m(E - V_0)}}{\hbar} \qquad E > V_0$$

Como só pode existir onda transmitida na região x > a podemos fazer D = 0.

A forma da densidade de probabilidade correspondente à autofunção obtida é indicada na Fig. 1(b) para uma situação típica.

Obtemos que o coeficiente de transmissão T do elétron que incide a barreira é

$$T = \frac{vC * C}{vA * A} = \left[1 + \frac{(e^{k_{II}a} - e^{-k_{II}a})^2}{16\frac{E}{V_0}(1 - \frac{E}{V_0})}\right]^{-1} = \left[1 + \frac{\sinh^2 k_{II}a}{4\frac{E}{V_0}(1 - \frac{E}{V_0})}\right]^{-1}$$
(12)

onde

$$k_{II}a = \sqrt{\frac{2mV_0a^2}{\hbar^2}(1 - \frac{E}{V_0})}$$
  $E < V_0$ 

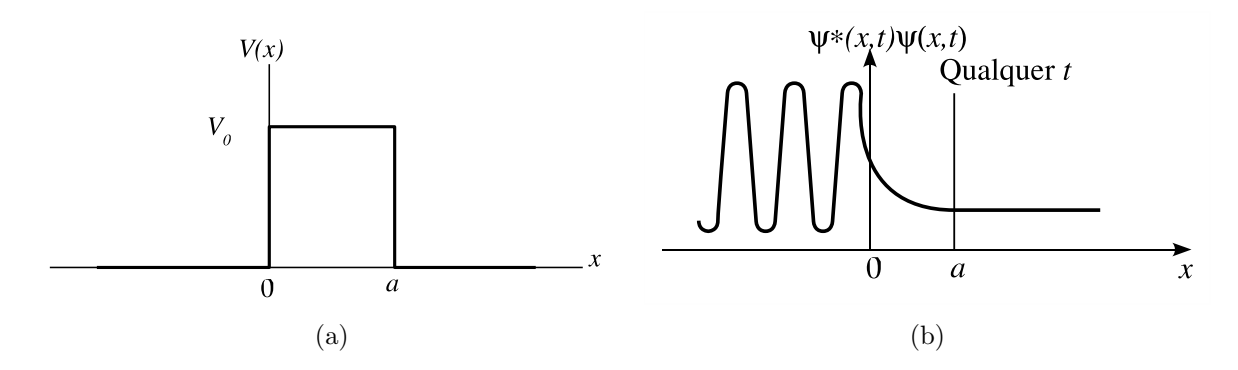


Figura 1: (a) Uma barreira de potencial. (b) A função densidade de probabilidade  $\Psi^*\Psi$  para uma situação típica de penetração de barreira.

e
$$T = \frac{vC * C}{vA * A} = \left[1 - \frac{(e^{ik_{III}a} - e^{-ik_{III}a})^2}{16\frac{E}{V_0}(\frac{E}{V_0} - 1)}\right]^{-1} = \left[1 + \frac{\sin^2 k_{III}a}{4\frac{E}{V_0}(\frac{E}{V_0} - 1)}\right]^{-1}$$
onde
$$k_{III}a = \sqrt{\frac{2mV_0a^2}{\hbar^2}(\frac{E}{V_0} - 1)} \qquad E > V_0$$

#### 4. CONCLUSÃO

Encontramos as autofunções para todas as regiões dos poços finito e infinito, também calculamos a expressão das possíveis energias de uma partícula dentro do poço infinito.

Verificamos que um elétron incidindo numa barreira de potencial tem também uma probabilidade de ser transmitido para o outro lado da barreira, mesmo que sua energia seja menor do que o potencial da barreira. Calculamos, também, a expressão do coeficiente de transmissão tanto no caso em que  $E < V_0$  quanto no caso em que  $E > V_0$ .

### 5. REFERÊNCIAS BIBLIOGRÁFICAS

EISBERG, R.; RESNICK, R. Física Quântica, Editora Campus, 1979. HALLIDAY, D.; RESNICK, R.; WALKER, J. Fundamentos de Física 4, Editora LTC, 1995.

#### FONTE DE FINANCIAMENTO - CNPq/PIBIC